

könig

1.2

VYPRACOVAL: Ing. ROMAN KÖNIG	<i>könig</i>	HL. INŽ. PROJEKTU: Ing. ĽUBOSLAV NAGY	<i>Nagy</i>	ZHOTOVITEĽ:
ZOD. PROJEKTANT: Ing. ROMAN KÖNIG	<i>könig</i>	TECH. KONTROLA: Ing. ADAM GRMAN	<i>R</i>	 AMBERG ENGINEERING
OBJEDNÁVATEĽ: Trenčiansky samosprávny kraj, K dolnej stanici 7282/20A, 911 01 Trenčín				
KRAJ: TRENČIANSKÝ KRAJ	OKRES: MYJAVA, NOVÉ MESTO NAD VÁHOM			
STAVBA: PROJEKT REKONŠTRUKCIA CESTY č. II/581 NOVÉ MESTO NAD VÁHOM – MYJAVA			ČÍSLO ZÁKAZKY: AP-2016/175/01	
STAVEBNÝ OBJEKT: SO 202 Most 013 Nové Mesto n.V – Myjava v ev.km 23,308 (v km 23,622)			STUPEŇ: DSP	
PRÍLOHA: STATICKÉ POSÚDENIE DOČASNÉHO PODOPRETTIA			DÁTUM: 10/2016	
			FORMÁT: 10xA4	
			MIERKA: M 1:1	
			ČÍSLO PRÍLOHY: 11	SÚPRAVA:

1. Obsah

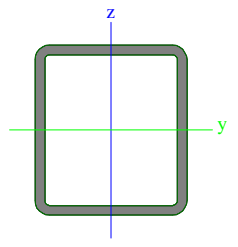
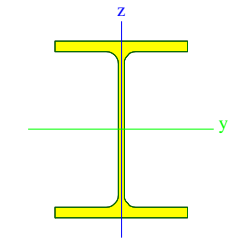
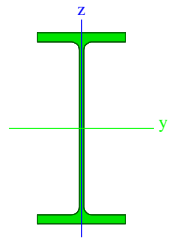
1. Obsah	1
2. Projekt	1
3. Prierezy	1
4. Materiály	3
5. Zaťažovacie stavy	3
6. Zaťažovacie skupiny	3
7. Kombinácie	4
8. Triedy výsledkov	4
9. Nastavenie riešiča a siete	4
10. Sieť prvkov	4
11. Prvok 1D	5
12. Reakcie	6
13. Vnútorné sily na prvku	7
14. Deformácie na prvku	8
15. Výpočtový model	9

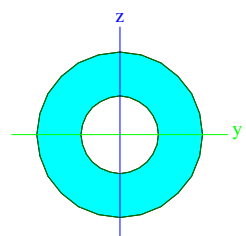
2. Projekt

Názov licencie	Amberg Engineering Slovakia, s.r.o.
Národná norma	EC - EN
Konštrukcia	Všeobecná XYZ
Počet uzlov :	38
Počet prútorov :	43
Poč. plôch :	0
Počet použitých prierezov :	4
Počet zať. stavov :	4
Počet použitých materiálov :	1
Názov súboru projektu	Esa2.esa
Cesta súboru projektu	D:\Moje dokumenty\Pracovne_data_Amberg\175_Nove_Mesto_n_V-Myjava\Mosty\Projekt\DSP_projekt\Pracovne\Most_013_hotovo
Projekt	SO 202 Most 013 Nové Mesto n.V - Myjava v ev.km 23,308
Časť	Podporná konštrukcia
Popis	Statika
Autor	Ing. Roman König
Dátum	30. 11. 2016
Gravitačné zrýchlenie [m/sec ²]	9,810
Verzia	Scia Engineer 10.0.78
Funkcionalita	Oceľ
Popis kombinácie	Súčinitele zaťaženia do kombinácií : Základná kombinácia (STR/GEO) Sada B Sada C stále zaťaženie - nepriaznivý 1.35 1.00 stále zaťaženie - priaznivý 1.00 1.00 zaťaženie od predpäťia - priaznivé 1.00 1.00 zaťaženie od predpäťia - nepriaznivé 1.20 1.20 únosnosť - 1 premenné zaťaženie 1.50 1.30 únosnosť - všetky premenné zaťaženia 1.50 1.30 Redukčný súčiniek 0.85 zaťaženie od zmrašťovania 1.00 1.00

3. Prierezy

>	Názov	CS1
	Typ	MSH280x250x16.0
	Popis zdroja	Structural hollow sections / Vallourec & Mannesmann Tubes / Ed.1998
	Materiálová položka	S 235
	Výroba	valcovaný
	Vzper y-y, z-z	a a

>																																											
>	<table border="1"> <tbody> <tr> <td>A [m²]</td><td>1,5700e-02</td><td></td><td></td></tr> <tr> <td>A y, z [m²]</td><td>7,4057e-03</td><td>8,2943e-03</td><td></td></tr> <tr> <td>I y, z [m⁴]</td><td>1,7450e-04</td><td>1,4580e-04</td><td></td></tr> <tr> <td>I w [m⁶], t [m⁴]</td><td>1,7313e-06</td><td>2,5250e-04</td><td></td></tr> <tr> <td>Wel y, z [m³]</td><td>1,2500e-03</td><td>1,1700e-03</td><td></td></tr> <tr> <td>Wpl y, z [m³]</td><td>1,4882e-03</td><td>1,3752e-03</td><td></td></tr> <tr> <td>d y, z [mm]</td><td>0</td><td>0</td><td></td></tr> <tr> <td>c YLSS, ZLSS [mm]</td><td>125</td><td>140</td><td></td></tr> <tr> <td>alfa [deg]</td><td>0,00</td><td></td><td></td></tr> <tr> <td>AL [m²/m]</td><td>1,0186e+00</td><td></td><td></td></tr> </tbody> </table>			A [m ²]	1,5700e-02			A y, z [m ²]	7,4057e-03	8,2943e-03		I y, z [m ⁴]	1,7450e-04	1,4580e-04		I w [m ⁶], t [m ⁴]	1,7313e-06	2,5250e-04		Wel y, z [m ³]	1,2500e-03	1,1700e-03		Wpl y, z [m ³]	1,4882e-03	1,3752e-03		d y, z [mm]	0	0		c YLSS, ZLSS [mm]	125	140		alfa [deg]	0,00			AL [m ² /m]	1,0186e+00		
A [m ²]	1,5700e-02																																										
A y, z [m ²]	7,4057e-03	8,2943e-03																																									
I y, z [m ⁴]	1,7450e-04	1,4580e-04																																									
I w [m ⁶], t [m ⁴]	1,7313e-06	2,5250e-04																																									
Wel y, z [m ³]	1,2500e-03	1,1700e-03																																									
Wpl y, z [m ³]	1,4882e-03	1,3752e-03																																									
d y, z [mm]	0	0																																									
c YLSS, ZLSS [mm]	125	140																																									
alfa [deg]	0,00																																										
AL [m ² /m]	1,0186e+00																																										
>	<table border="1"> <tbody> <tr> <td>Názov</td><td>CS2</td><td></td><td></td></tr> <tr> <td>Typ</td><td>HEB400</td><td></td><td></td></tr> <tr> <td>Popis zdroja</td><td>Profil Arbed / Structural shapes / Edition Octobre 1995</td><td></td><td></td></tr> <tr> <td>Materiálová položka</td><td>S 235</td><td></td><td></td></tr> <tr> <td>Výroba</td><td>valcovaný</td><td></td><td></td></tr> <tr> <td>Vzper y-y, z-z</td><td>a</td><td>b</td><td></td></tr> </tbody> </table>			Názov	CS2			Typ	HEB400			Popis zdroja	Profil Arbed / Structural shapes / Edition Octobre 1995			Materiálová položka	S 235			Výroba	valcovaný			Vzper y-y, z-z	a	b																	
Názov	CS2																																										
Typ	HEB400																																										
Popis zdroja	Profil Arbed / Structural shapes / Edition Octobre 1995																																										
Materiálová položka	S 235																																										
Výroba	valcovaný																																										
Vzper y-y, z-z	a	b																																									
>																																											
>	<table border="1"> <tbody> <tr> <td>A [m²]</td><td>1,9780e-02</td><td></td><td></td></tr> <tr> <td>A y, z [m²]</td><td>1,2310e-02</td><td>4,8567e-03</td><td></td></tr> <tr> <td>I y, z [m⁴]</td><td>5,7680e-04</td><td>1,0820e-04</td><td></td></tr> <tr> <td>I w [m⁶], t [m⁴]</td><td>3,8362e-06</td><td>3,5570e-06</td><td></td></tr> <tr> <td>Wel y, z [m³]</td><td>2,8840e-03</td><td>7,2130e-04</td><td></td></tr> <tr> <td>Wpl y, z [m³]</td><td>3,2400e-03</td><td>1,1000e-03</td><td></td></tr> <tr> <td>d y, z [mm]</td><td>0</td><td>0</td><td></td></tr> <tr> <td>c YLSS, ZLSS [mm]</td><td>150</td><td>200</td><td></td></tr> <tr> <td>alfa [deg]</td><td>0,00</td><td></td><td></td></tr> <tr> <td>AL [m²/m]</td><td>1,9264e+00</td><td></td><td></td></tr> </tbody> </table>			A [m ²]	1,9780e-02			A y, z [m ²]	1,2310e-02	4,8567e-03		I y, z [m ⁴]	5,7680e-04	1,0820e-04		I w [m ⁶], t [m ⁴]	3,8362e-06	3,5570e-06		Wel y, z [m ³]	2,8840e-03	7,2130e-04		Wpl y, z [m ³]	3,2400e-03	1,1000e-03		d y, z [mm]	0	0		c YLSS, ZLSS [mm]	150	200		alfa [deg]	0,00			AL [m ² /m]	1,9264e+00		
A [m ²]	1,9780e-02																																										
A y, z [m ²]	1,2310e-02	4,8567e-03																																									
I y, z [m ⁴]	5,7680e-04	1,0820e-04																																									
I w [m ⁶], t [m ⁴]	3,8362e-06	3,5570e-06																																									
Wel y, z [m ³]	2,8840e-03	7,2130e-04																																									
Wpl y, z [m ³]	3,2400e-03	1,1000e-03																																									
d y, z [mm]	0	0																																									
c YLSS, ZLSS [mm]	150	200																																									
alfa [deg]	0,00																																										
AL [m ² /m]	1,9264e+00																																										
>	<table border="1"> <tbody> <tr> <td>Názov</td><td>CS3</td><td></td><td></td></tr> <tr> <td>Typ</td><td>HEB650</td><td></td><td></td></tr> <tr> <td>Popis zdroja</td><td>Profil Arbed / Structural shapes / Edition Octobre 1995</td><td></td><td></td></tr> <tr> <td>Materiálová položka</td><td>S 235</td><td></td><td></td></tr> <tr> <td>Výroba</td><td>valcovaný</td><td></td><td></td></tr> <tr> <td>Vzper y-y, z-z</td><td>a</td><td>b</td><td></td></tr> </tbody> </table>			Názov	CS3			Typ	HEB650			Popis zdroja	Profil Arbed / Structural shapes / Edition Octobre 1995			Materiálová položka	S 235			Výroba	valcovaný			Vzper y-y, z-z	a	b																	
Názov	CS3																																										
Typ	HEB650																																										
Popis zdroja	Profil Arbed / Structural shapes / Edition Octobre 1995																																										
Materiálová položka	S 235																																										
Výroba	valcovaný																																										
Vzper y-y, z-z	a	b																																									
>																																											
>	<table border="1"> <tbody> <tr> <td>A [m²]</td><td>2,8630e-02</td><td></td><td></td></tr> </tbody> </table>			A [m ²]	2,8630e-02																																						
A [m ²]	2,8630e-02																																										

>	A y, z [m ²]	1,5888e-02	9,6246e-03
	I y, z [m ⁴]	2,1060e-03	1,3980e-04
	I w [m ⁶], t [m ⁴]	1,3499e-05	7,3920e-06
	Wel y, z [m ³]	6,4800e-03	9,3230e-04
	Wpl y, z [m ³]	7,3200e-03	1,4400e-03
	d y, z [mm]	0	0
	c YLSS, ZLSS [mm]	150	325
	alfa [deg]	0,00	
	AL [m ² /m]	2,4209e+00	
>	Názov	CS4	
	Typ	RO244.5X65	
	Popis zdroja	Stahl im Hochbau / 14.Auflage Band I / Teil 1	
	Materiálová položka	S 235	
	Výroba	vaľcovaný	
	Vzper y-y, z-z	a	a
>			
>	A [m ²]	3,6700e-02	
	A y, z [m ²]	2,3364e-02	2,3364e-02
	I y, z [m ⁴]	1,6700e-04	1,6700e-04
	I w [m ⁶], t [m ⁴]	0,0000e+00	2,9525e-04
	Wel y, z [m ³]	1,3660e-03	1,3660e-03
	Wpl y, z [m ³]	2,1542e-03	2,1542e-03
	d y, z [mm]	0	0
	c YLSS, ZLSS [mm]	0	0
	alfa [deg]	0,00	
	AL [m ² /m]	7,6808e-01	

4. Materiály

Názov	Typ	Merná hmotnosť [kg/m ³]	E modul [MPa]	Poisson - nu	G modul [MPa]	Tepel. rozťažnosť [m/mK]
S 235	Ocel'	7850,00	2,1000e+05	0,3	8,0769e+04	0,01e-003

5. Zaťažovacie stavy

Názov	Popis	Typ pôsobenia	Zaťažovacia skupina	Typ zaťaženia	Spec	Smer	Dĺžka trvania	Vzorový zaťažovací stav
VLT		Stále	LG1	Vlastná tiaž		-Z		
Tiaz3	MOST	Stále	LG1	Štandard				
Tiaz2	DOPRAVA	Premenné	LG2	Statické	Štandard		Krátkodobé	Žiadny
Tiaz1	ZDVIH	Stále	LG1	Štandard				

6. Zaťažovacie skupiny

Názov	Zaťaženie	Špecifikácia	koef. 2
LG1	Stále		
LG2	Premenné	Štandard	Kat A : obytné

7. Kombinácie

Názov	Typ	Zaťažovacie stavy	Súč. [-]	Názov	Typ	Zaťažovacie stavy	Súč. [-]
CO1	Obálka - únosnosť	VLT	1,35	CO3	Obálka - únosnosť	Tiaz3 - MOST	1,35
CO2	Obálka - únosnosť	VLT	1,35			Tiaz2 - DOPRAVA	1,00
		Tiaz3 - MOST	1,35	CO4	Obálka - únosnosť	VLT	1,35
CO3	Obálka - únosnosť	VLT	1,35			Tiaz1 - ZDVIH	1,35

8. Triedy výsledkov

Názov	Výpis	Názov	Výpis
Všetky MSÚ	CO1 - Obálka - únosnosť	Všetky MSÚ	CO4 - Obálka - únosnosť
	CO2 - Obálka - únosnosť		
	CO3 - Obálka - únosnosť		

9. Nastavenie riešiča a siete

Rozšírené možnosti riešiča	x
Zanedbať deformáciu od šmykovej sily (Ay, Az >> A)	x
Poč. FE na nábehu	5
Použiť uzlové zjemnenie	Žiadne prvky
Ohybová teória výpočtu dosiek/škrupín	Mindlin
Typ riešiča	Priamy
Počet hrúbok dosky do rebra	20
Počet rezov na strednom prvku	10
Maximálny prípustný posun [mm]	1000,0
Maximálne prípustné pootočenie [mrad]	100,0
Max. počet iterácií	50
Minimálna vzdialenosť medzi dvoma bodmi [m]	0,001
Priemerná veľkosť plošného/zakriveného prvku [m]	1,000
Priemerný počet dielikov na prvku 1D	1
Minimálna dĺžka prútového elementu [m]	0,100
Maximálna dĺžka prútového elementu [m]	100,000
Priemerná veľkosť lán, kálov, prvkov na podloží, nelineárnych pružín podložia [m]	1,000
Generovanie uzlov v dotykoch prútových prvkov	✓
Generovanie uzlov pod osamelými zaťaženiami na prútových prvkoch	✓
Generovať excentrické prvky na prútoch s premennou výškou	x
Použiť preddefinovanú sieť	✓
Vyhliadiť hranicu preddefinovanej siete	x
Maximálny nerovinný uhol štvoruholníka [mrad]	30,0
Pomer preddefinovanej siete	1,5
Súčiniteľ pre výstuž	1
Nezávislé uzly pre predpätie	✓

10. Siet' prvkov

Uzol	X [m]	Y [m]	Z [m]	Uzol	X [m]	Y [m]	Z [m]	Uzol	X [m]	Y [m]	Z [m]
FEN 1	0,000	0,000	0,00	FEN 15	2,000	2,000	0,00	FEN 26	2,000	1,000	1,400
FEN 2	0,000	0,000	1,40	FEN 16	2,000	2,000	1,40	FEN 16	2,000	2,000	1,400
FEN 3	2,000	0,000	0,00	FEN 17	4,000	2,000	0,00	FEN 6	4,000	0,000	1,400
FEN 4	2,000	0,000	1,40	FEN 18	4,000	2,000	1,40	FEN 27	4,000	1,000	1,400
FEN 5	4,000	0,000	0,00	FEN 19	6,000	2,000	0,00	FEN 18	4,000	2,000	1,400
FEN 6	4,000	0,000	1,40	FEN 20	6,000	2,000	1,40	FEN 8	6,000	0,000	1,400
FEN 7	6,000	0,000	0,00	FEN 21	8,000	2,000	0,00	FEN 28	6,000	1,000	1,400
FEN 8	6,000	0,000	1,40	FEN 22	8,000	2,000	1,40	FEN 20	6,000	2,000	1,400
FEN 9	8,000	0,000	0,00	FEN 23	10,000	2,000	0,00	FEN 10	8,000	0,000	1,400
FEN 10	8,000	0,000	1,40	FEN 24	10,000	2,000	1,40	FEN 29	8,000	1,000	1,400
FEN 11	10,000	0,000	0,00	FEN 2	0,000	0,000	1,40	FEN 22	8,000	2,000	1,400
FEN 12	10,000	0,000	1,40	FEN 25	0,000	1,000	1,40	FEN 12	10,000	0,000	1,400
FEN 13	0,000	2,000	0,00	FEN 14	0,000	2,000	1,40	FEN 30	10,000	1,000	1,400
FEN 14	0,000	2,000	1,40	FEN 4	2,000	0,000	1,40	FEN 24	10,000	2,000	1,400

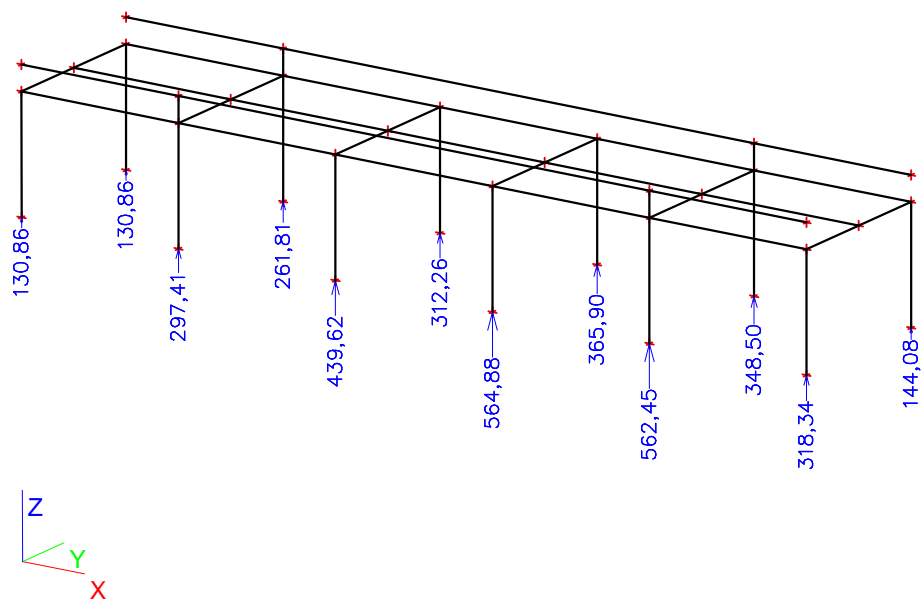
Uzol	X [m]	Y [m]	Z [m]	Uzol	X [m]	Y [m]	Z [m]	Uzol	X [m]	Y [m]	Z [m]
FEN 2	0,000	0,000	1,40	FEN 18	4,000	2,000	1,40	FEN 33	8,000	0,000	1,700
FEN 4	2,000	0,000	1,40	FEN 14	0,000	2,000	1,40	FEN 10	8,000	0,000	1,400
FEN 4	2,000	0,000	1,40	FEN 16	2,000	2,000	1,40	FEN 34	8,000	2,000	1,700
FEN 6	4,000	0,000	1,40	FEN 25	0,000	1,000	1,40	FEN 22	8,000	2,000	1,400
FEN 6	4,000	0,000	1,40	FEN 26	2,000	1,000	1,40	FEN 35	0,000	0,000	1,700
FEN 8	6,000	0,000	1,40	FEN 26	2,000	1,000	1,40	FEN 31	2,000	0,000	1,700
FEN 8	6,000	0,000	1,40	FEN 27	4,000	1,000	1,40	FEN 31	2,000	0,000	1,700
FEN 10	8,000	0,000	1,40	FEN 27	4,000	1,000	1,40	FEN 33	8,000	0,000	1,700
FEN 10	8,000	0,000	1,40	FEN 28	6,000	1,000	1,40	FEN 36	0,000	2,000	1,700
FEN 12	10,000	0,000	1,40	FEN 28	6,000	1,000	1,40	FEN 32	2,000	2,000	1,700
FEN 22	8,000	2,000	1,40	FEN 29	8,000	1,000	1,40	FEN 32	2,000	2,000	1,700
FEN 24	10,000	2,000	1,40	FEN 29	8,000	1,000	1,40	FEN 34	8,000	2,000	1,700
FEN 20	6,000	2,000	1,40	FEN 30	10,000	1,000	1,40	FEN 34	8,000	2,000	1,700
FEN 22	8,000	2,000	1,40	FEN 31	2,000	0,000	1,70	FEN 37	10,000	2,000	1,700
FEN 18	4,000	2,000	1,40	FEN 4	2,000	0,000	1,40	FEN 33	8,000	0,000	1,700
FEN 20	6,000	2,000	1,40	FEN 32	2,000	2,000	1,70	FEN 38	10,000	0,000	1,700
FEN 16	2,000	2,000	1,40	FEN 16	2,000	2,000	1,400				

11. Prvok 1D

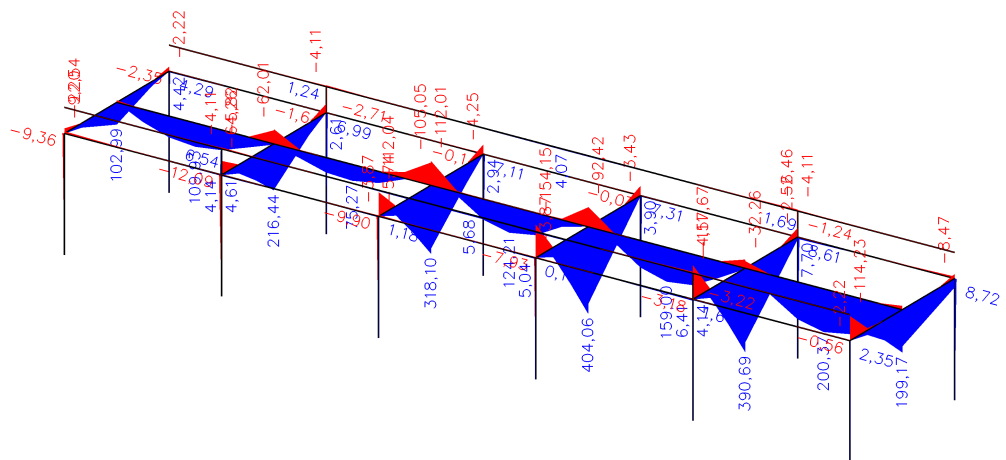
Názov	Prierez	Dĺžka [m]	Tvar	Poč. uzol	Konc. uzol	Typ	FEM typ	Hladina
B1	CS1 - MSH280x250x16.0	1,400	Číara	N1	N2	všeobecný (0)	štandard	Hladina1
B2	CS1 - MSH280x250x16.0	1,400	Číara	N3	N4	všeobecný (0)	štandard	Hladina1
B3	CS1 - MSH280x250x16.0	1,400	Číara	N5	N6	všeobecný (0)	štandard	Hladina1
B4	CS1 - MSH280x250x16.0	1,400	Číara	N7	N8	všeobecný (0)	štandard	Hladina1
B5	CS1 - MSH280x250x16.0	1,400	Číara	N9	N10	všeobecný (0)	štandard	Hladina1
B6	CS1 - MSH280x250x16.0	1,400	Číara	N11	N12	všeobecný (0)	štandard	Hladina1
B7	CS1 - MSH280x250x16.0	1,400	Číara	N13	N14	všeobecný (0)	štandard	Hladina1
B8	CS1 - MSH280x250x16.0	1,400	Číara	N15	N16	všeobecný (0)	štandard	Hladina1
B9	CS1 - MSH280x250x16.0	1,400	Číara	N17	N18	všeobecný (0)	štandard	Hladina1
B10	CS1 - MSH280x250x16.0	1,400	Číara	N19	N20	všeobecný (0)	štandard	Hladina1
B11	CS1 - MSH280x250x16.0	1,400	Číara	N21	N22	všeobecný (0)	štandard	Hladina1
B12	CS1 - MSH280x250x16.0	1,400	Číara	N23	N24	všeobecný (0)	štandard	Hladina1
B13	CS2 - HEB400	2,000	Číara	N2	N14	všeobecný (0)	štandard	Hladina1
B14	CS2 - HEB400	2,000	Číara	N4	N16	všeobecný (0)	štandard	Hladina1
B15	CS2 - HEB400	2,000	Číara	N6	N18	všeobecný (0)	štandard	Hladina1
B16	CS2 - HEB400	2,000	Číara	N8	N20	všeobecný (0)	štandard	Hladina1
B17	CS2 - HEB400	2,000	Číara	N10	N22	všeobecný (0)	štandard	Hladina1
B18	CS2 - HEB400	2,000	Číara	N12	N24	všeobecný (0)	štandard	Hladina1
B19	CS2 - HEB400	2,000	Číara	N2	N4	všeobecný (0)	štandard	Hladina1
B20	CS2 - HEB400	2,000	Číara	N4	N6	všeobecný (0)	štandard	Hladina1
B21	CS2 - HEB400	2,000	Číara	N6	N8	všeobecný (0)	štandard	Hladina1
B22	CS2 - HEB400	2,000	Číara	N8	N10	všeobecný (0)	štandard	Hladina1
B23	CS2 - HEB400	2,000	Číara	N10	N12	všeobecný (0)	štandard	Hladina1
B24	CS2 - HEB400	2,000	Číara	N22	N24	všeobecný (0)	štandard	Hladina1
B25	CS2 - HEB400	2,000	Číara	N20	N22	všeobecný (0)	štandard	Hladina1
B26	CS2 - HEB400	2,000	Číara	N18	N20	všeobecný (0)	štandard	Hladina1
B27	CS2 - HEB400	2,000	Číara	N16	N18	všeobecný (0)	štandard	Hladina1
B28	CS2 - HEB400	2,000	Číara	N14	N16	všeobecný (0)	štandard	Hladina1
B29	CS3 - HEB650	2,000	Číara	N25	N26	všeobecný (0)	štandard	Hladina1
B30	CS3 - HEB650	2,000	Číara	N26	N27	všeobecný (0)	štandard	Hladina1
B31	CS3 - HEB650	2,000	Číara	N27	N28	všeobecný (0)	štandard	Hladina1
B32	CS3 - HEB650	2,000	Číara	N28	N29	všeobecný (0)	štandard	Hladina1
B33	CS3 - HEB650	2,000	Číara	N29	N30	všeobecný (0)	štandard	Hladina1
B34	CS4 - RO244.5X65	0,300	Číara	N31	N4	všeobecný (0)	štandard	Hladina1
B35	CS4 - RO244.5X65	0,300	Číara	N32	N16	všeobecný (0)	štandard	Hladina1
B36	CS4 - RO244.5X65	0,300	Číara	N33	N10	všeobecný (0)	štandard	Hladina1
B37	CS4 - RO244.5X65	0,300	Číara	N34	N22	všeobecný (0)	štandard	Hladina1
B38	CS2 - HEB400	2,000	Číara	N35	N31	všeobecný (0)	štandard	Hladina1
B39	CS2 - HEB400	6,000	Číara	N31	N33	všeobecný (0)	štandard	Hladina1

Názov	Prierez	Dĺžka [m]	Tvar	Poč. uzol	Konc. uzol	Typ	FEM typ	Hladina
B40	CS2 - HEB400	2,000	Číara	N37	N32	všeobecný (0)	štandard	Hladina1
B41	CS2 - HEB400	6,000	Číara	N32	N34	všeobecný (0)	štandard	Hladina1
B45	CS2 - HEB400	2,000	Číara	N34	N41	všeobecný (0)	štandard	Hladina1
B47	CS2 - HEB400	2,000	Číara	N33	N42	všeobecný (0)	štandard	Hladina1

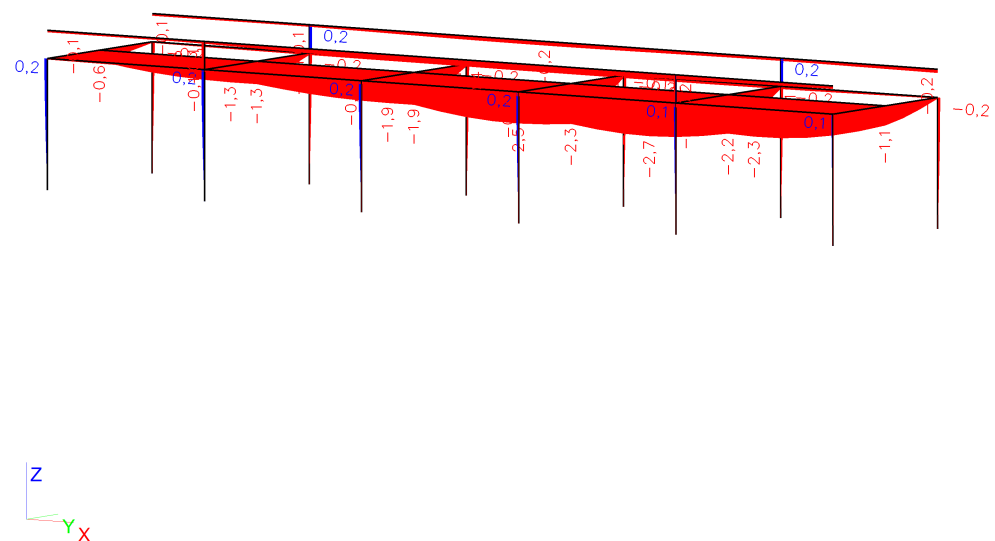
12. Reakcie



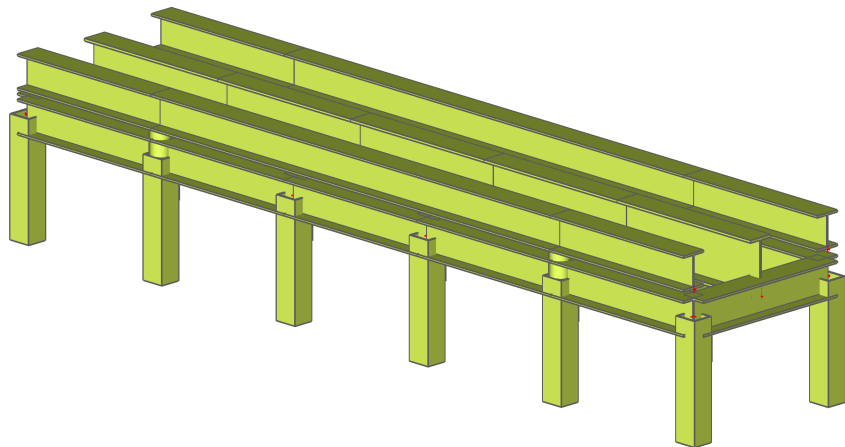
13. Vnútorné sily na prvkú



14. Deformácie na prvku



15. Výpočtový model



Výpočet stability svahu**Vstupní data****Projekt****Nastavení**

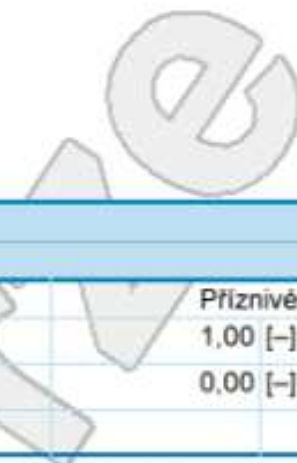
Standardní - EN 1997 - DA2

Stabilitní výpočty

Výpočet zemětřesení : Standard

Metodika posouzení : výpočet podle EN1997

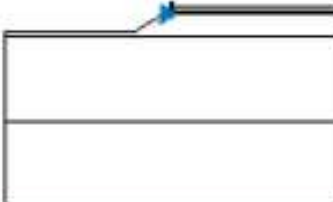
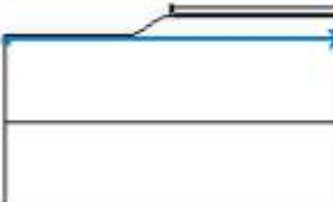
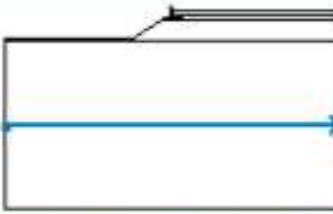
Návrhový přístup : 2 - redukce zatížení a odporu

**Součinitele redukce zatížení (F)****Trvalá návrhová situace**

Stálé zatížení :	$\gamma_G =$	Nepříznivé		Příznivé	
		1,35 [-]	1,00 [-]	0,00 [-]	0,00 [-]
Proměnné zatížení :	$\gamma_Q =$	1,50 [-]			
Zatížení vodou :	$\gamma_w =$	1,35 [-]			

Součinitele redukce odporu (R)**Trvalá návrhová situace**Součinitel redukce odporu na smyk. ploše : $\gamma_{Rs} = 1,10 [-]$ **Rozhraní**

Číslo	Umístění rozhraní	Souřadnice bodů rozhraní [m]					
		x	z	x	z	x	z
1		0,00	0,00	0,00	-0,25	0,10	-0,25
2		-10,00	-1,88	-2,35	-1,88	-0,56	-0,75
		-0,53	-0,73	-0,45	-0,68	-0,15	-0,68
		-0,15	-0,58	-0,15	0,00	0,00	0,00
		0,10	-0,25	3,53	-0,25	10,00	-0,25
3		0,00	-0,25	0,00	-0,48	0,10	-0,58
		0,58	-0,58				
4		-0,15	-0,73	0,58	-0,73	0,58	-0,58
		10,00	-0,58				

Číslo	Umístění rozhraní	Souřadnice bodů rozhraní [m]					
		x	z	x	z	x	z
5		-0,53	-0,73	-0,15	-0,73	-0,15	-0,68
6		-0,56	-0,75	10,00	-0,75		
7		-10,00	-2,10	10,00	-2,10		
8		-10,00	-7,10	10,00	-7,10		

Parametry zemin - efektivní napjatost

Číslo	Název	Vzorek	σ_{ef} [Pa]	c_{ef} [kPa]	γ [kN/m³]
1	Třída G1, ulehlá		41,50	0,00	21,00
2	Třída F3, konzistence měkká		26,50	12,00	18,00
3	Třída F4, konzistence tuhá		24,50	14,00	18,50

Parametry zemin - vztlak

Číslo	Název	Vzorek	γ_{sat} [kN/m³]	γ_s [kN/m³]	n [-]
1	Třída G1, ulehlá		21,00		
2	Třída F3, konzistence měkká		21,00		

Číslo	Název	Vzorek	γ_{sat} [kN/m ³]	γ [kN/m ³]	n [-]
3	Třída F4, konzistence tuhá		21,00		

Parametry zemin**Třída G1, ulehlá**

Objemová těža: $\gamma = 21,00 \text{ kN/m}^3$
 Napjatost: efektivní
 Úhel vnitřního tření: $\phi_{ef} = 41,50^\circ$
 Soudržnost zeminy: $C_{ef} = 0,00 \text{ kPa}$
 Obj.těža sat.zeminy: $\gamma_{sat} = 21,00 \text{ kN/m}^3$

Třída F3, konzistence měkká

Objemová těža: $\gamma = 18,00 \text{ kN/m}^3$
 Napjatost: efektivní
 Úhel vnitřního tření: $\phi_{ef} = 26,50^\circ$
 Soudržnost zeminy: $C_{ef} = 12,00 \text{ kPa}$
 Obj.těža sat.zeminy: $\gamma_{sat} = 21,00 \text{ kN/m}^3$

Třída F4, konzistence tuhá

Objemová těža: $\gamma = 18,50 \text{ kN/m}^3$
 Napjatost: efektivní
 Úhel vnitřního tření: $\phi_{ef} = 24,50^\circ$
 Soudržnost zeminy: $C_{ef} = 14,00 \text{ kPa}$
 Obj.těža sat.zeminy: $\gamma_{sat} = 21,00 \text{ kN/m}^3$

Tuhá tělesa

Číslo	Název	Vzorek	γ [kN/m ³]
1	Materiál zdi		23,00

Přiřazení a plochy

Číslo	Umístění plochy	Souřadnice bodů plochy [m]				Přiřazená zemina
		x	z	x	z	
1		0,00	0,00	0,00	-0,25	Třída G1, ulehlá
		0,10	-0,25			

Číslo	Umístění plochy	Souřadnice bodů plochy [m]				Přiznána zemina
		x	z	x	z	
2		10,00	-0,58	10,00	-0,25	Třída G1, ulehlá
		3,53	-0,25	0,10	-0,25	
		0,00	-0,25	0,00	-0,48	
		0,10	-0,58	0,58	-0,58	
3		-0,15	-0,73	0,58	-0,73	Material zdi
		0,58	-0,58	0,10	-0,58	
		0,00	-0,48	0,00	-0,25	
		0,00	0,00	-0,15	0,00	
		-0,15	-0,58	-0,15	-0,68	
4		-0,15	-0,73	-0,15	-0,68	Třída F3, konzistence měkká
		-0,45	-0,68	-0,53	-0,73	
5		10,00	-0,75	10,00	-0,58	Třída G1, ulehlá
		0,58	-0,58	0,58	-0,73	
		-0,15	-0,73	-0,53	-0,73	
		-0,56	-0,75			
6		10,00	-2,10	10,00	-0,75	Třída F4, konzistence tuhá
		-0,56	-0,75	-2,35	-1,88	
		-10,00	-1,88	-10,00	-2,10	

Číslo	Umístění plochy	Souřadnice bodů plochy [m]				Přiřazená zemina
		x	z	x	z	
7		10,00	-7,10	10,00	-2,10	Třída F4, konzistence tuhá
		-10,00	-2,10	-10,00	-7,10	
8		-10,00	-7,10	-10,00	-12,10	Třída G1, ulehlá
		10,00	-12,10	10,00	-7,10	

Přitížení

Číslo	Typ	Působení	Umístění z [m]	Počátek x [m]	Délka l [m]	Šířka b [m]	Sklon α [°]	Velikost q, qs, f, F	Velikost q2	Jednotka
1	lichoběžník	stálé	na povrchu	x = 0,50	l = 3,00		0,00	93,00	61,00	kN/m ²

Názvy přitížení

Číslo	Název
1	a

Voda

Typ vody : Voda není

Tahová trhlina

Tahová trhlina není zadána.

Zemětřesení

Se zemětřesením se nepočítá.

Nastavení výpočtu fáze

Návrhová situace : trvalá

Výsledky (Fáze budování 1)**Výpočet 1****Kruhová smyková plocha**

Parametry smykové plochy					
Střed :	x =	-1,16 [m]		$\alpha_1 =$	-21,96 [°]
	z =	1,07 [m]	Úhly :	$\alpha_2 =$	65,47 [°]
Poloměr :	R =	3,18 [m]			
Smyková plocha po optimalizaci.					

Posouzení stability svahu (Bishop)Sumace aktivních sil : $F_a = 133,38 \text{ kN/m}$ Sumace pasivních sil : $F_p = 172,85 \text{ kN/m}$ Moment sesouvající : $M_a = 424,16 \text{ kNm/m}$

Moment vzdorující : $M_p = 499,70 \text{ kNm/m}$

Využiti : 84,9 %

Stabilita svahu VYHOVUJE

DemoVer!n

Výpočet úhlové zdi**Vstupní data****Projekt**

Akce : SO 202 Most 013 Nové Mesto n.V - Myjava v ev.km 23,308
 Část : Stabilita svahu pod skruhou
 Popis : Statický výpočet
 Vypracoval : ing. Roman König
 Datum : 30. 11. 2016

Nastavení

Standardní - EN 1997 - DA2

Materiály a normy

Betonové konstrukce : EN 1992-1-1 (EC2)
 Součinitele EN 1992-1-1 : standardní

Výpočet zdi

Výpočet aktivního tlaku : Coulomb (ČSN 730037)
 Výpočet pasivního tlaku : Caquot-Kerisel (ČSN 730037)
 Výpočet zemětřesení : Mononobe-Okabe
 Tvar zemního klinu : počítat šikmý
 Výstupek základu : výstupek uvažovat jako šikmou základovou spáru
 Dovolená excentricita : 0,333
 Metodika posouzení : výpočet podle EN1997
 Návrhový přístup : 2 - redukce zatížení a odporu

**Součinitel redukce zatížení (F)****Trvalá návrhová situace**

	Nepřiznivě	Přiznivě
Stálé zatížení :	$\gamma_G = 1,35 [-]$	1,00 [-]
Proměnné zatížení :	$\gamma_Q = 1,50 [-]$	0,00 [-]
Zatížení vodou :	$\gamma_w = 1,35 [-]$	

Součinitel redukce odporu (R)**Trvalá návrhová situace**

Součinitel redukce odporu na překlopení :	$\gamma_{Re} = 1,40 [-]$
Součinitel redukce odporu na posunutí :	$\gamma_{Rh} = 1,10 [-]$
Součinitel redukce odporu základové půdy :	$\gamma_{Rv} = 1,40 [-]$

Kombinační součinitely pro proměnná zatížení**Trvalá návrhová situace**

Součinitel kombinační hodnoty :	$\psi_0 = 0,70 [-]$
Součinitel časté hodnoty :	$\psi_1 = 0,50 [-]$
Součinitel kvazistálé hodnoty :	$\psi_2 = 0,30 [-]$

Materiál konstrukceObjemová třída $\gamma = 23,00 \text{ kN/m}^3$

Výpočet betonových konstrukcí proveden podle normy EN 1992-1-1 (EC2).

Beton : C 30/37

Válcová pevnost v tlaku

$$f_{ck} = 30,00 \text{ MPa}$$

Pevnost v tahu

$$f_{ctm} = 2,90 \text{ MPa}$$

Ocel podélná : B500

Mez kluzu

$$f_{yk} = 500,00 \text{ MPa}$$

Geometrie konstrukce

Číslo	Pořadnice X [m]	Hloubka Z [m]
1	0,00	0,00
2	0,00	0,48
3	0,10	0,58
4	0,58	0,58
5	0,58	0,73
6	-0,15	0,73
7	-0,15	0,58
8	-0,15	0,00

Počátek [0,0] je v nejhořejším pravém bodu zdi.

Plocha řezu zdi = 0,20 m².

Základní parametry zemin

Číslo	Název	Vzorek	φ_{ef} [°]	C_{ef} [kPa]	γ [kN/m ³]	γ_{sat} [kN/m ³]	s [m]
1	Třída G1, ulehlá		41,50	0,00	21,00	11,00	10,00
2	Třída F3, konzistence měkká		26,50	12,00	18,00	11,00	10,00
3	Třída F4, konzistence tuhá		24,50	14,00	18,50	11,00	10,00

Pro výpočet tlaku v klidu jsou všechny zeminy zadány jako nesoudržné.

Parametry zemin

Třída G1, ulehlá

Objemová třída :

Napjatost :

Úhel vnitřního tření :

Soudržnost zeminy :

Třecí úhel kce-zemina :

Zemina :

Obj.třia sat.zeminy :

$$\gamma = 21,00 \text{ kN/m}^3$$

efektivní

$$\varphi_{ef} = 41,50^\circ$$

$$C_{ef} = 0,00 \text{ kPa}$$

$$\delta = 10,00^\circ$$

nesoudržná

$$\gamma_{sat} = 21,00 \text{ kN/m}^3$$

Třída F3, konzistence měkká

Objemová třída :

Napjatost :

Úhel vnitřního tření :

Soudržnost zeminy :

Třecí úhel kce-zemina :

Zemina :

Obj.třia sat.zeminy :

$$\gamma = 18,00 \text{ kN/m}^3$$

efektivní

$$\varphi_{ef} = 26,50^\circ$$

$$C_{ef} = 12,00 \text{ kPa}$$

$$\delta = 10,00^\circ$$

nesoudržná

$$\gamma_{sat} = 21,00 \text{ kN/m}^3$$

Třída F4, konzistence tuhá

Objemová třída :

Napjatost :

Úhel vnitřního tření :

Soudržnost zeminy :

Třecí úhel kce-zemina :

Zemina :

$$\gamma = 18,50 \text{ kN/m}^3$$

efektivní

$$\varphi_{ef} = 24,50^\circ$$

$$C_{ef} = 14,00 \text{ kPa}$$

$$\delta = 10,00^\circ$$

nesoudržná

Obj.tíha sat.zeminy : $\gamma_{sat} = 21,00 \text{ kN/m}^3$ **Geologický profil a přiřazení zemin**

Číslo	Vrstva [m]	Přiřazená zemina	Vzorek
1	0,25	Třída G1, ulehlá	
2	0,50	Třída G1, ulehlá	
3	1,35	Třída F4, konzistence tuhá	
4	5,00	Třída F4, konzistence tuhá	
5	-	Třída G1, ulehlá	

Založení

Typ založení : zemina - geologický profil

Tvar terénu

Číslo	Souřadnice x [m]	Hloubka z [m]
1	0,00	0,00
2	0,10	0,25
3	3,53	0,25
4	4,53	0,25

Počátek [0,0] je v umístěn v pravém horním rohu konstrukce.
Kladná souřadnice +z směřuje dolů.

Vliv vody

Hladina podzemní vody je pod úrovní konstrukce.

Zadaná plošná přitížení

Číslo	Přitížení nové	Přitížení změna	Působ.	Vel.1 [kN/m ²]	Vel.2 [kN/m ²]	Poř.x x [m]	Délka l [m]	Hloubka z [m]
1	ANO		stálé	93,00	61,00	0,50	3,00	na terénu

Číslo	Název
1	a

Odpor na lici konstrukce

Odpor na lici konstrukce: klidový

Zemina na lici konstrukce - Třída F3, konzistence měkká

Výška zeminy před zdí h = 0,05 m

Tvar terénu na lici konstrukce

Číslo	Souřadnice x[m]	Hloubka z[m]
1	0,00	0,00
2	0,00	-0,05
3	-0,30	-0,05
4	-2,20	1,15

Číslo	Souřadnice x[m]	Hloubka z[m]
5	-3,20	1,15

Počátek [0,0] je umístěn do levého spodního okraje konstrukce.
Kladná souřadnice +z směruje dolů.

Nastavení výpočtu fáze

Návrhová situace : trvalá

Zed' se může přemístit, je počítána na zatížení aktivním tlakem.

Posouzení čís. 1

Spočtené sily působící na konstrukci

Název	Fhor [kN/m]	Působiště z [m]	Fvert [kN/m]	Působiště x [m]	Koef. překl.	Koef. posun.	Koef. napětí
Tih.- zed'	0,00	-0,24	4,63	0,24	1,000	1,000	1,350
Odpor na lici	-0,01	-0,02	0,00	0,00	1,000	1,000	1,000
Tih.- zemní klin	0,00	-0,33	3,54	0,39	1,000	1,000	1,350
Aktivní tlak	0,47	-0,16	0,69	0,67	1,000	1,000	1,350
s	4,09	-0,39	4,59	0,67	1,350	1,350	1,350

Posouzení celé zdi

Posouzení na překlopení

Moment vzdorující $M_{res} = 5,05 \text{ kNm/m}$

Moment klopící $M_{ovr} = 2,25 \text{ kNm/m}$

Zed' na překlopení VYHOVUJE

Posouzení na posunutí

Vodor. síla vzdorující $H_{res} = 12,11 \text{ kN/m}$

Vodor. síla posunující $H_{act} = 5,97 \text{ kN/m}$

Zed' na posunutí VYHOVUJE

Celkové posouzení - ZED' VYHOVUJE

Maximální napětí v základové spáře : 28,31 kPa

Únosnost základové půdy

Sily působící ve středu základové spáry

Číslo	Moment [kNm/m]	Norm. síla [kN/m]	Pos. síla [kN/m]	Excentricita [-]	Napětí [kPa]
1	0,80	18,16	6,14	0,061	28,31
2	0,67	15,06	5,97	0,061	23,48

Normové sily působící ve středu základové spáry (výpočet sedání)

Číslo	Moment [kNm/m]	Norm. síla [kN/m]	Pos. síla [kN/m]
1	0,60	13,45	4,54

Posouzení únosnosti základové půdy

Posouzení excentricity

Max. excentricita normálové sily $e = 0,061$

Maximální dovolená excentricita $e_{alw} = 0,333$

Excentricita normálové sily VYHOVUJE

Posouzení únosnosti základové spáry

Návrhová únosnost základové půdy $R = 150,00 \text{ kPa}$
 Součinitel redukce odporu základové půdy $\gamma_{Rv} = 1,40$
 Max. napětí v základové spáře $\sigma = 28,31 \text{ kPa}$
 Únosnost základové půdy $R_d = 107,14 \text{ kPa}$

Únosnost základové půdy VYHOVUJE**Celkové posouzení - únosnost základové půdy VYHOVUJE****Dimenzace čís. 1**

Spočtené sily působící na konstrukci

Název	Fhor [kN/m]	Působiště z [m]	Fvert [kN/m]	Působiště x [m]	Koef. moment	Koef. norm.sila	Koef. pos.sila
Tl. - zeď	0,00	-0,28	2,11	0,08	1,350	1,350	1,000
Tl. - zemní klin	0,00	-0,31	1,10	0,20	1,000	1,350	1,000
Tlak v klidu	1,19	-0,19	0,00	0,25	1,350	1,000	1,350
a	8,33	-0,23	0,00	0,25	1,350	1,000	1,350

Posouzení dříku zdi

Vyztužení a rozměry průřezu

Profil vložky = 12,0 mm
 Počet vložek = 5
 Kryt výztuže = 30,0 mm
 Šířka průřezu = 1,00 m
 Výška průřezu = 0,25 m

Stupeň vyztužení

$$\rho = 0,27 \% > 0,15 \% = \rho_{min}$$

Poloha neutrálnej osy

$$x = 0,02 \text{ m} < 0,13 \text{ m} = x_{max}$$

Posouvajici síla na mezi únosnosti

$$V_{Rd} = 112,74 \text{ kN} > 12,84 \text{ kN} = V_{Ed}$$

Moment na mezi únosnosti

$$M_{Rd} = 50,80 \text{ kNm} > 2,90 \text{ kNm} = M_{Ed}$$

Průřez VYHOVUJE.

SO 202 Most 013 Nové Mesto n.V - Myjava v ev.km 23,308 (v km 23,6

VÝPOČET DILATAČNÝCH POHYBOV MZ

$\alpha_t =$	1,00E-05	[°C ⁻¹]	- SÚČINITEĽ TEPLITNEJ ROZŠAŽNOSTI
$t_0 =$	10	[°C]	- ZÁKLADNÁ TEPLOTA (PRI OSADENÍ MZ)
$t_{max} =$	42	[°C]	- MAX. OTEPLENIE KONŠTRUKCIE - podla pozn.2 pridat 10
$t_{min} =$	-28	[°C]	- MAX. OCHLADENIE KONŠTRUKCIE - podla pozn.2 pridat 10
$t_1 =$	1,0	[rok]	- OSADENIE MOSTNÉHO ZÁVERU
$t_2 =$	100	[rok]	- KONIEC ŽIVOTNOSTI MOSTA
$\sigma_{priem} =$	10	[MPa]	- NAPÄTIE V BETÓNOVEJ KONŠTRUKCIÍ
$E_b =$	34000	[MPa]	- MODUL PRUŽNOSTI (BETÓN C35/45)
$L =$	73,0	[m]	- VZDIALENOSŤ MZ OD PEVNÉHO LOŽISKA (TEPLOTNÁ OS)
$L_0 =$	24,7	[m]	- ROZPÄTIE KRAJNÉHO POĽA
$H =$	1,10	[m]	- VÝŠKA NOSNEJ KONŠTRUKCIE
$H_0 =$	0,20	[m]	- HRÚBKA VOZOVKY

VPLYV TEPLOTY:

$\Delta L_{t,otep} =$	0,0379	[m]	- OTEPLENIE KONŠTRUKCIE	$\Delta L_{t,otep} = \alpha_t \cdot L \cdot (t_{max} - t_0)$
$\Delta L_{t,ochl} =$	-0,0423	[m]	- OCHLADENIE KONŠTRUKCIE	$\Delta L_{t,ochl} = \alpha_t \cdot L \cdot (-t_0 + t_{min})$

VPLYV ZMRAŠTOVANIA: (STN EN 1992-1-1; PRÍLOHA B)

$A_{c,priem} =$	0	[mm ²]	- PLOCHA BETÓNOVÉHO PRIEREZU (PRIEMERNÁ) - NEUVAŽUJE SA
$u =$	0,00	[mm]	- OBVOD BETÓNOVÉHO PRIEREZU - NEUVAŽUJE SA
$RH_0 =$	100	[%]	- 100% VLHKOSŤ PROSTREDIA
$RH =$	70	[%]	- RELATÍVNA VLHKOSŤ PROSTREDIA
$\beta_{RH} =$	1,018	[]	$\beta_{RH} = 1,55 \cdot \left[1 - \left(\frac{RH}{RH_0} \right)^3 \right]$
$\epsilon_{cd,0} =$	0,000341	[‰]	- ZÁKLADNÉ PRETV. OD VYSYCHANIA (fcm=43; Tr. Cem.:N)
			$\epsilon_{cd,0} = 0,85 \cdot \left[(220 + 110 \cdot \alpha_{ds1}) \cdot \exp \left(-\alpha_{ds2} \cdot \frac{f_{cm}}{f_{cm0}} \right) \right] \cdot 10^{-6} \cdot \beta_{RH}$
$h_0 =$	20,00	[]	$AK h_0 \geq 500 \Rightarrow k_h = 0,70$ (STN EN 1992 – 1 – 1; Tab3.3)
$\beta_{ds}(t,t_s) =$	1,000	[]	$\beta_{ds}(t,t_s) = \frac{(t - t_s)}{(t - t_s) + 0,04 \cdot \sqrt{h_0^3}}$; $t = 36525 \text{ dni}$; $t_s = 30 \text{ dní}$
$\epsilon_{cd,(t)} =$	0,000239	[‰]	- PRETV. OD VYSYCHANIA
$\epsilon_{ca,\infty} =$	0,000063	[‰]	$\epsilon_{ca}(\infty) = 2,5 \cdot (f_{ck} - 10) \cdot 10^{-6}$

$$\beta_{as}(t) = 1 - \exp(-0,2 \cdot t^{0,5})$$

$\varepsilon_{ca,(t)} = 0,000063$ [%] - PRETV. OD AUTOGÉNNEHO ZMRAŠŤOVANIA

$\varepsilon_{cs,(t)} = 0,000301$ [%] - CELKOVÉ PRETV. OD ZMRAŠŤOVANIA

$$\Delta L_{zmr} = 0,0000 \quad [m] \quad \Delta L_{zmr} = -\varepsilon_{zm} \cdot (\sqrt{1 - e^{-\sqrt{t_2}}} - \sqrt{1 - e^{-\sqrt{t_1}}}) \cdot L$$

VPLYV DOTVAROVANIA: (STN EN 1992-1-1)

$\varphi(\infty, t_0) = 2,25$ [] - KONEČNÝ SÚČINITEĽ DOTVAROVANIA (Obr. 3.1)

$$\Delta L_{dot} = 0,0000 \quad [m] \quad \Delta L_{dot} = -\Phi_{dot} \cdot (\sqrt{1 - e^{-\sqrt{t_2}}} - \sqrt{1 - e^{-\sqrt{t_1}}}) \cdot \frac{\sigma_{priem}}{E_b} \cdot L$$

VPLYV PRIEHYBU

$$w_{dov} = 0,0494 \quad [m] \quad - DOV. PRIEHYB OD PREMENNÉHO ZAŤAŽENIA \quad w_{dov} = \frac{L_0}{500}$$

$\Phi = 0,008$ [rad] - RELATÍVNE POOTOČENIE ČELA

$$\Delta L_p = -0,0104 \quad [m] \quad \Delta L_p = -(H + H_0) \cdot \Phi$$

VÝSLEDNÝ DILATAČNÝ POHYB

$\Delta L_I = -0,0527$ [m] celkový pohyb od zápornej teploty dotvarovania a zmrašťovania

$\Delta L_{II} = 0,0379$ [m] celkový pohyb od kladnej teploty

$\Delta L_{CELK} = 0,0907$ [m] celkový pohyb v mieste Mostných záverov